

© 1985 ISIJ

# 高炉への粉体吹き込みによる銑中 Si 低下テスト

技術報告

春 富夫\*・才野 光男\*・奥村 和男\*  
阪口 泰彦\*・稻谷 稔宏\*\*

## Lowering Si Content in Pig Iron by Powder Injection into Blast Furnace

Tomio HARU, Mitsuo SAINO, Kazuo OKUMURA,  
Yasuhiko SAKAGUCHI and Toshihiro INATANI

### Synopsis:

In order to lower the Si content in pig iron, the injection of powder restraining the reduction of  $\text{SiO}_2$  was examined at Chiba No. 2 Blast Furnace with  $1380 \text{ m}^3$  inner volume and 20 tuyeres.

The powder used is  $\text{CaCO}_3$  or iron oxide and it was injected through 5 tuyeres of 20 ones.

In case of the injection of  $\text{CaCO}_3$  powder in 8 kg/t-p,

1) Si content in pig iron decreased from 0.84% to 0.68% at  $1500^\circ\text{C}$ .

2) S content in pig iron decreased from 0.034% to 0.027% at  $1500^\circ\text{C}$ .

3) Si content in fine particles sampled in raceway is less than that without injection of  $\text{CaCO}_3$  powder.

In case of the injection of iron oxide powder in 32 kg/t-p,

1) Si content in pig iron decreased from 0.72% to 0.57% at  $1470^\circ\text{C}$ .

2) S content in pig iron increased from 0.04% to 0.05% at  $1470^\circ\text{C}$ .

3) Si content in fine particles sampled in raceway is less than that without injection of iron oxide powder.

### 1. 緒 言

近年、製鋼工程における、スラグミニマム製錬を目的として、溶銑段階での炉外脱りん脱硫技術が発展してきた。この場合、溶銑中の [Si] 濃度は従来の 0.4% 台から 0.1% 台を要望される。高炉系における低 Si 銑対策としては、従来から低 Si 銑操業法<sup>1)~3)</sup>や炉外での溶銑脱珪法<sup>4)</sup>が報告されている。

今回、高炉における低 [Si] 銑吹錬の新技术を開発すべく、高炉送風羽口から炉内での Si 移行反応を抑制する粉体 ( $\text{CaCO}_3$ , 酸化鉄) を吹き込むテストを、千葉第 2 高炉 (炉容  $1380 \text{ m}^3$ , 羽口 20 本) で実施したので、得られた知見を報告する。

### 2. 実験方法

#### 2.1 実験装置

実験装置は川崎製鉄(株)とデンカエンジニアリング(株)とが共同開発した微粉炭吹込装置 (KDP-PCI)<sup>5)</sup>を用いた。装置の概略を Fig. 1 に示す。本装置は 1) 連続吹き込み型の容器、2) アップフロー型の排出部、3) 吹き込み量の調整が可能な分配機能、4) 自動制御機能をもつ気体輸送装置を特徴とする。粉体の高炉送風羽口

への吹き込みは、加圧されたインジェクションタンクからブースターガスによる気体輸送によつて行う。粉体の吹き込みは、5 本の羽口に対して、連続的に均等に分配し、重油吹き込み口から行つた。

#### 2.2 実験方法

Si 移行反応を抑制するための粉体としては、 $\text{CaCO}_3$ および酸化鉄の粉体を用いた。Table 1 に粉体の化学組成を示す。平均粒径は  $\text{CaCO}_3$  が  $0.012 \text{ mm}$ 、酸化鉄が  $0.044 \text{ mm}$  である。実験は炉内へ粉体を  $4\sim8 \text{ h}$  連続して吹き込み、吹き込みによる溶銑溶滓成分の変化を調

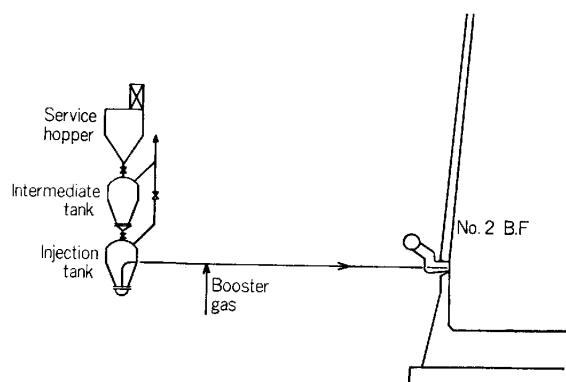


Fig. 1. Schematic layout of testing apparatus.

昭和 58 年 10 月本会講演大会にて発表 昭和 59 年 9 月 14 日受付 (Received Sep. 14, 1984)

\* 川崎製鉄(株)千葉製鉄所 (Chiba Works, Kawasaki Steel Corp., 1 Kawasaki-cho Chiba 260)

\*\* 川崎製鉄(株)鉄鋼研究所 (Iron & Steel Research Laboratories, Kawasaki Steel Corp.)

Table 1. Composition of  $\text{CaCO}_3$  and iron oxide (%).

|                 | T. Fe | $\text{SiO}_2$ | S     | $\text{Al}_2\text{O}_3$ | CaO  | MgO  | $\text{TiO}_2$ | Zn    | Mn   | P     |
|-----------------|-------|----------------|-------|-------------------------|------|------|----------------|-------|------|-------|
| $\text{CaCO}_3$ | 0.02  | 0.2            | 0.02  | 0.03                    | 55.6 | —    | —              | —     | —    | 0.002 |
| Iron Oxide      | 68.50 | 0.46           | 0.002 | 0.44                    | 0.02 | 0.06 | 0.03           | 0.001 | 0.34 | —     |

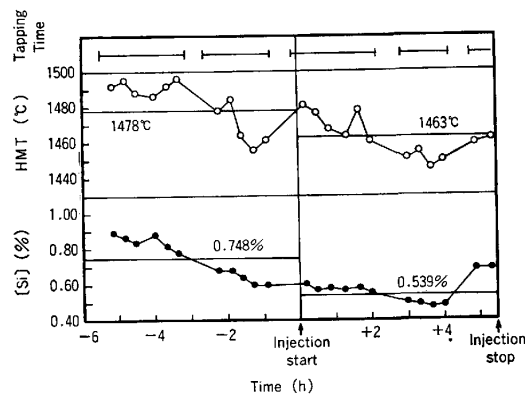


Fig. 2. Change of hot metal temperature and [Si] content during iron oxide injection.

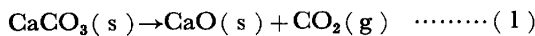
査した。溶銑滓成分の測定および溶銑温度の測定は出銑開始後、20 min 間隔で行つた。酸化鉄を吹き込んだ場合の溶銑温度と銑中 [Si] の経時変化の一例を Fig. 2 に示す。また、粉体の吹込羽口のレースウェイ内からガスと微粒物等を採取し、成分分析を行つた。

### 3. 実験結果および考察

#### 3.1 粉体吹き込み時の成分挙動

##### 3.1.1 $\text{CaCO}_3$ 吹き込み

$\text{CaCO}_3$  を吹き込んだ場合の操業結果を Table 2 に示す。吹き込んだ  $\text{CaCO}_3$  は、炉内で(1)式で示す熱分解反応を生じる。



この反応は吸熱反応であるために、溶銑温度の低下が予想されたが、 $\text{CaCO}_3$  吹き込み中の溶銑温度低下は認められなかつた。

Table 2. Operation results on  $\text{CaCO}_3$  injection.

|   | Case 1              |                           | Case 2              |                           |
|---|---------------------|---------------------------|---------------------|---------------------------|
|   | 5h before injection | $\text{CaCO}_3$ injection | 5h before injection | $\text{CaCO}_3$ injection |
| $\text{CaCO}_3$ injection rate (kg- $\text{CaCO}_3$ /t-p) | —                   | 7.6                       | —                   | 8.6                       |
| Injection time (min)                                      | —                   | 324                       | —                   | 285                       |
| Blast temperature (°C)                                    | 1 147               | 1 156                     | 1 159               | 1 161                     |
| Blast moisture (g/Nm <sup>3</sup> )                       | 30.1                | 30.2                      | 26.4                | 23.7                      |
| Hot metal temperature (°C)                                | 1 496               | 1 497                     | 1 479               | 1 477                     |
| [Si] (%)  | 0.859               | 0.699                     | 0.667               | 0.613                     |
| [S] (%)   | 0.0289              | 0.0293                    | 0.0458              | 0.0384                    |

約 8 kg/t-p の  $\text{CaCO}_3$  吹き込みによる溶銑中の [Si] 濃度の変化を Fig. 3 に示す。図中の Base の回帰式は、粉体を吹き込む前のデータより求めた。溶銑温度が 1 480 °C 以上では、吹き込み中に [Si] 濃度の顕著な低下が認められ、1 500 °C で 0.84% から 0.68% に低下した。

Fig. 4 に [S] 濃度の変化を示す。 $\text{CaCO}_3$  を吹き込んだ場合には、溶銑温度 1 500 °C で、0.034% から 0.027% への低下が認められた。

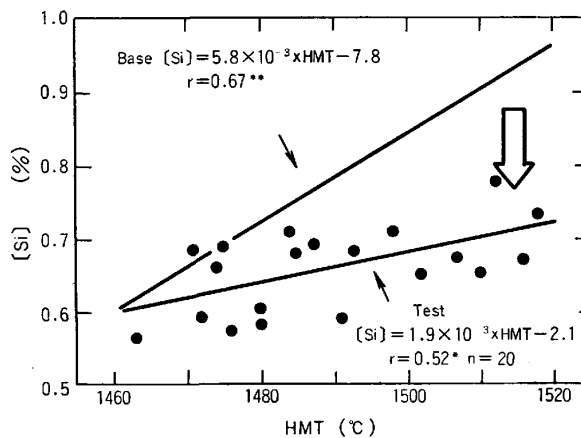


Fig. 3. Relation between hot metal temperature and [Si] content on  $\text{CaCO}_3$  injection.

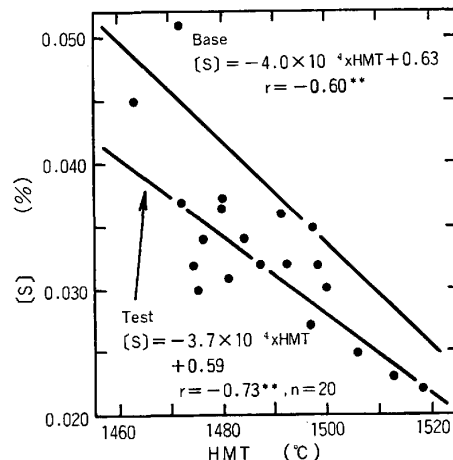


Fig. 4. Relation between hot metal temperature and [S] content on  $\text{CaCO}_3$  injection.

Table 3. Operation results on iron oxide injection.

|  | Case 1                    |                            | Case 2                    |                            | Case 3                    |                            | Case 4                    |                            | Case 5                    |                            |
|--|---------------------------|----------------------------|---------------------------|----------------------------|---------------------------|----------------------------|---------------------------|----------------------------|---------------------------|----------------------------|
|  | 6h<br>before<br>injection | Iron<br>oxide<br>injection |
| Iron oxide injection rate<br>(kg-I.O./t-p) | —                         | 14.3                       | —                         | 14.9                       | —                         | 16.6                       | —                         | 31.9                       | —                         | 34.8                       |
| Injection time (min)                       | —                         | 282                        | —                         | 360                        | —                         | 512                        | —                         | 332                        | —                         | 380                        |
| Blast temperature (°C)                     | 1 181                     | 1 195                      | 1 200                     | 1 206                      | 1 182                     | 1 192                      | 1 189                     | 1 187                      | 1 185                     | 1 192                      |
| Blast moisture (g/Nm <sup>3</sup> )        | 40.7                      | 39.3                       | 34.9                      | 35.1                       | 40.4                      | 38.8                       | 38.6                      | 37.2                       | 43.2                      | 42.9                       |
| Hot metal temperature (°C)                 | 1 469                     | 1 476                      | 1 477                     | 1 484                      | 1 468                     | 1 460                      | 1 478                     | 1 463                      | 1 474                     | 1 463                      |
| [Si] (%)                                   | 0.762                     | 0.632                      | 0.552                     | 0.511                      | 0.845                     | 0.674                      | 0.748                     | 0.539                      | 0.745                     | 0.546                      |
| [S] (%)                                    | 0.0415                    | 0.0343                     | 0.0306                    | 0.0275                     | 0.0315                    | 0.0443                     | 0.0326                    | 0.0533                     | 0.0310                    | 0.0518                     |

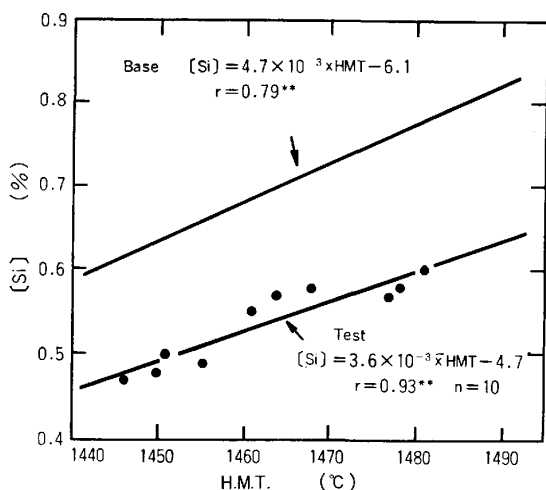


Fig. 5. Relation between hot metal temperature and [Si] content on iron oxide injection.

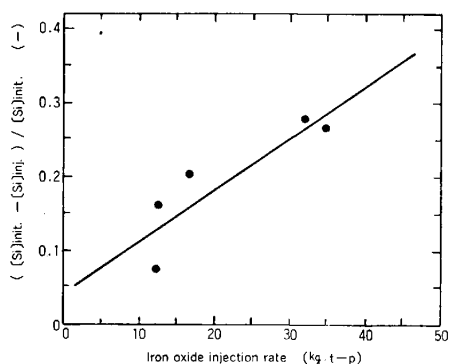
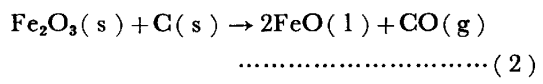


Fig. 6. Relation between iron oxide injection rate and  $([Si]_{init.} - [Si]_{inj.})/[Si]_{init.}$ .

### 3.1.2 酸化鉄吹き込み

酸化鉄を吹き込んだ場合の操業結果を Table 3 に示す。吹き込んだ酸化鉄は羽口前や炉床部で(2)および(3)式で示す直接還元反応を起こすと考えられる。これらの吸熱反応によつて、溶銑温度の低下が予想され、事実、Case 3, 4 および 5においては低下が認められた。



Case 1 および 2において、溶銑温度の低下が認められなかつたのは、酸化鉄の吹き込み量が少なく、かつ、吹込時間が短かつたためと考えられる。

Fig. 5 に、Case 4 の吹き込みによる銑中 [Si] 濃度の変化を示す。溶銑温度が 1440~1480°C の範囲で、[Si] 濃度はほぼ一様に 0.2% 低下し、1470°C では 0.72% から 0.57% になった。他のテスト結果においても、[Si] 濃度は 0.04~0.20% 低下した。酸化鉄を吹き込んだ場合の [Si] の初期濃度に対する低下率を Fig. 6 に示す。酸化鉄を 30 kg/t-p 吹き込むと吹き込み前の 75% の [Si] 濃度になった。

Case 4 の銑中 [S] の変化を Fig. 7 に示す。酸化鉄を吹き込んだ場合には、[S] 濃度は 1470°C で 0.04% から 0.05% に上昇した。しかし、Case 1 および 2においては、溶銑温度の上昇のために、見掛け上、[S] 濃度

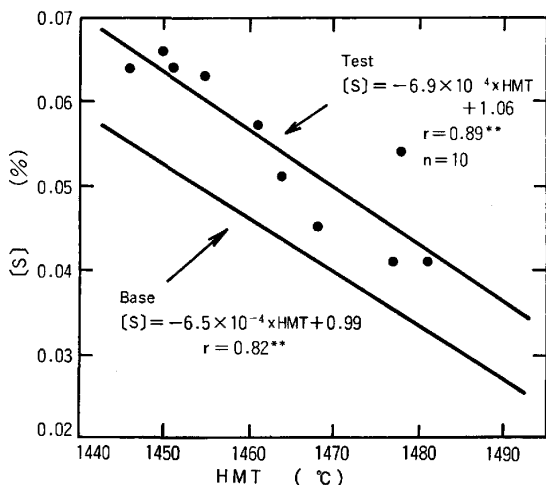


Fig. 7. Relation between hot metal temperature and [S] content on iron oxide injection.

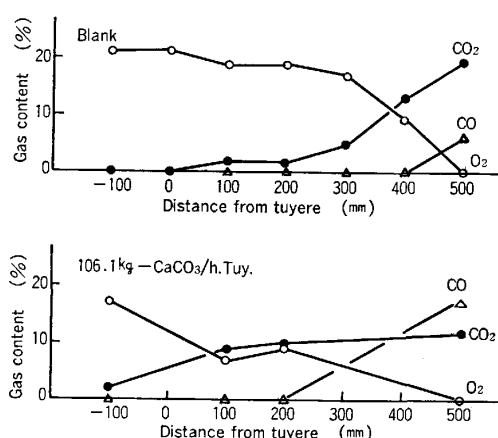


Fig. 8. Gas analysis at tuyere and in raceway during  $\text{CaCO}_3$  injection.

Table 4. Analysis of fine particles sampled in raceway during  $\text{CaCO}_3$  injection.

|                           | X-ray diffraction   | EPMA          |
|---------------------------|---|---------------|
| $\text{CaCO}_3$ injection | $\text{Fe}_3\text{O}_4$ , $\text{FeO}$<br>$\beta\text{-Ca}_2\text{SiO}_4$<br>$\text{Ca}_2\text{Al}_2\text{SiO}_7$<br>$\text{Ca}_2\text{MgSi}_2\text{O}_7$ | Si count 3279 |
| Blank                     | $\text{Fe}_3\text{O}_4$ , $\alpha\text{-Fe}$  | Si count 7771 |

度は若干低下した。

### 3.2 粉体吹き込み時のレースウェイ状況

#### 3.2.1 $\text{CaCO}_3$ 吹き込み

Fig. 8 に  $\text{CaCO}_3$  を羽口 1 本あたりに  $106.1 \text{ kg/h}$  吹き込んだ時のレースウェイ内のサンプリングガスの分析結果を示す。 $\text{CaCO}_3$  は、 $800^\circ\text{C}$  付近で(1)式の熱分解反応を起こすために、羽口内で  $\text{CO}_2$  が発生した。

Table 4 にサンプラーに付着した物質のX線回折、および、レースウェイ内の微粒物のEPMA分析の結果を示す。サンプラーの付着物は、吹き込みをしていない場合には、鉄および鉄酸化物が認められたが、 $\text{CaCO}_3$  を吹き込んだ場合には、鉄酸化物以外に、 $\text{CaCO}_3$  に起因すると考えられるスラグ ( $\beta\text{-Ca}_2\text{SiO}_4$ ,  $\text{Ca}_2\text{Al}_2\text{SiO}_7$ ,  $\text{Ca}_2\text{MgSi}_2\text{O}_7$ ) が存在した。一方、レースウェイ内の微粒物中の Si 量は減少の傾向を示しており、レースウェイ内の SiO ガス量が低下したものと考えられる。

#### 3.2.2 酸化鉄吹き込み

Fig. 9 に酸化鉄を  $235.1 \text{ kg/h}$  吹き込んだ時のレースウェイ内ガスサンプリングの分析結果を示す。酸化鉄を吹き込んだ場合には、羽口先端より  $400 \text{ mm}$  付近から、 $\text{CO}_2 + 1/2\text{CO} + \text{O}_2$  量が上昇した。酸化鉄の還元がレースウェイ内で進んだために、 $\text{CO}_2 + 1/2\text{CO}$  量が増

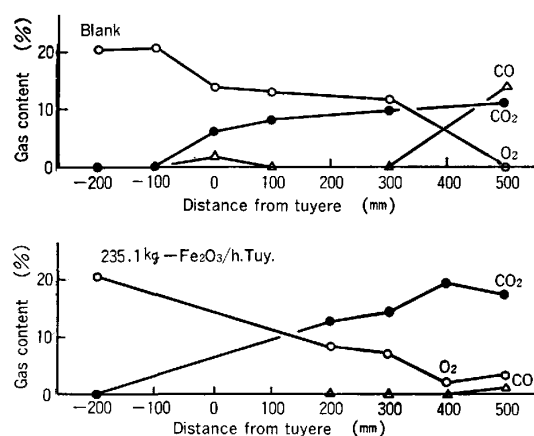


Fig. 9. Gas analysis at tuyere and in raceway during iron oxide injection.

Table 5. Analysis of material sampled in raceway during iron oxide injection.

|           | Metal (%) |      | Slag (%)         |                      |      | EPMA<br>Si(count) |
|-----------|-----------|------|------------------|----------------------|------|-------------------|
|           | Fe        | Si   | SiO <sub>2</sub> | CaO/SiO <sub>2</sub> | T.Fe |                   |
| Injection | 94.33     | 0.26 | 12.70            | 1.01                 | 48.9 | 54.5              |
| Blank     | 87.47     | 4.07 | 25.91            | 1.03                 | 23.9 | 4.97              |

加したものと考えられる。

Table 5 にサンプラーに付着した物質とレースウェイ内から捕集した微粒物の分析結果を示す。サンプラーに付着した物質は大部分がスラグ分であつたが、一部メタル分が含まれていたので、磁選によつて分離し、それについて化学分析を行つた。吹き込みをしていない場合には、コークスに由来すると考えられるメタルが存在し、[Si] 濃度も約 4% と高い。一方、酸化鉄を吹き込んだ場合には、[Si] 濃度が約 0.3% のメタルが認められた。これは、コークスに由来するメタル中の [Si] が吹き込んだ酸化鉄によつて酸化されたものか、あるいは、吹き込んだ酸化鉄が還元されたものと考えられる。スラグ分に関しては、吹き込みによつて (FeO) 濃度が約 5% から約 55% に上昇した。このことから、酸化鉄はレースウェイ内で還元されているものと考えられる。スラグ中の (SiO<sub>2</sub>) は、吹き込みによつて CaO/SiO<sub>2</sub> が低下していることから、増加しているものと考えられる。これは、コークス灰分中の SiO<sub>2</sub> が銑中の [Si] に移行するのを抑制されたことの傍証と考えられる。したがつて、酸化鉄の吹き込みにおいても、レースウェイ内の SiO ガス量は、低下していると考えられる。

### 3.3 考察

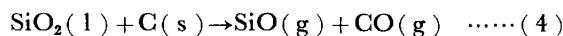
#### 3.3.1 $\text{CaCO}_3$ 吹き込み時の反応

溶銑中への Si 移行過程としては、滴下帯での SiO ガスの発生を介することが報告されている<sup>6,7)</sup>。SiO ガス

Table 6. Change of calculated Si transfer parameter change on  $\text{CaCO}_3$  injection.

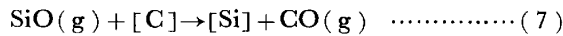
|  | Case 1                    |                        | Case 2                    |                       |
|--|---------------------------|------------------------|---------------------------|-----------------------|
|  | Tuyeres without injection | Tuyeres with injection | Tuyeres without injection | Tuyere with injection |
| Flame temperature (°C)                                     | 2 323                     | 2 268                  | 2 376                     | 2 316                 |
| Coke temperature (°C)                                      | 1 742                     | 1 701                  | 1 782                     | 1 737                 |
| $k_5$ (kcal/m <sup>2</sup> h)                              | 0.23                      | 0.090                  | 0.53                      | 0.20                  |
| $a_{\text{SiO}_2}$ (-)                                     | ≈ 1                       | 0.34                   | ≈ 1                       | 0.24                  |
| $k_6$ at 1 520°C (kcal/m <sup>2</sup> h atm)<br>at 1 460°C | 3.7<br>2.0                | 3.7<br>2.0             | 3.7<br>2.0                | 3.7<br>2.0            |

発生反応<sup>8)</sup>および、 Si 吸収反応<sup>6)</sup>は次のように与えられる。



$$R_5 = k_5 A_{s,sl} a_{\text{SiO}_2} \quad \dots \dots \dots (5)$$

$$k_5 = 3.57 \times 10^{18} \exp(-177\,000/RT_s) \quad \dots \dots \dots (6)$$



$$R_6 = k_6 A_{g,m} P_{\text{SiO}} \quad \dots \dots \dots (8)$$

$$k_6 = 4.77 \times 10^8 \exp(-66\,500/RT_m) \quad \dots \dots \dots (9)$$

製鋼用銑の吹製時には、 炉内で発生する SiO ガスはコーカス灰分中の  $\text{SiO}_2$  に由来し、 銑中への Si の移行は(7)式の反応が律速する。

$\text{CaCO}_3$  は、 羽口やレースウェイ内で(1)式の熱分解を起こし、  $\text{CaO}$  となる。この反応に(4)、(7)式の反応を考慮することによって、次のような Si 低下の要因が考えられる。

- 1) (1)式の吸熱反応によつて、羽口前温度が低下し、  $\text{SiO}$  ガスの発生反応が抑制される。
- 2) 羽口前での  $\text{CaO}$  の増加によつて、コーカス灰分中の  $\text{SiO}_2$  がラグ化し、  $a_{\text{SiO}_2}$  が低下する。この結果、  $\text{SiO}$  ガス発生反応が抑制される。
- 3) (1)式の反応で発生する  $\text{CO}_2$  による  $P_{\text{O}_2}$  の上昇によつて、  $\text{SiO}$  ガスの発生が抑制される。

Table 4 に示したレースウェイ内サンプリングにおける付着物の分析結果は 2) の要因の傍証と考えられる。また、 レースウェイ内での微粒物中の Si 含有量の低下は、  $\text{SiO}$  発生反応の抑制の傍証と考えられる。

Table 6 に、  $\text{CaCO}_3$  を吹き込んだ時の羽口前の Si 移行要因の変化 (羽口前温度、  $\text{SiO}$  ガス発生および Si の銑中への吸収の速度定数) の計算結果を示す。表内のコーカス温度は、 羽口前温度の 75% として表示している。羽口前温度は、  $\text{CaCO}_3$  の吹き込み量 1 kg/t-p あたり 7°C 低下する。この結果、約 8 kg/t-p の吹き込みで、  $\text{SiO}$  ガス発生反応の速度定数  $k_5$  が、 吹き込みをしていない場合の 40% 以下となり、  $a_{\text{SiO}_2}$  は 0.24~0.34 となつた。これらより、 1) または 2) の要因が相乗的に

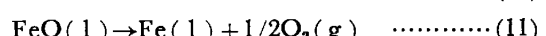
Table 7. Distribution ratio of S between slag and pig iron on  $\text{CaCO}_3$  injection.

|                      | Case 1              |                           | Case 2              |                           |
|----------------------|---------------------|---------------------------|---------------------|---------------------------|
|                      | 5h Before Injection | $\text{CaCO}_3$ Injection | 5h Before Injection | $\text{CaCO}_3$ Injection |
| [S] (%)              | 0.0289              | 0.0293                    | 0.0458              | 0.0384                    |
| (CaO) (%)            | 42.50               | 42.79                     | 40.56               | 40.90                     |
| (FeO) (%)            | 0.355               | 0.381                     | 0.350               | 0.429                     |
| log Cs               | -3.74               | -3.75                     | -3.86               | -3.84                     |
| log $P_{\text{O}_2}$ | -14.0               | -13.9                     | -14.0               | -13.8                     |
| log $L_s^0$          | -13.5               | -13.5                     | -13.6               | -13.5                     |

影響して、 Si 吸収反応律速から、  $\text{SiO}$  ガス発生反応律速に移行したものと考えられる。一方、低溶銑温度 (1 460°C) では、 Si の吸収反応の速度定数が 1 520°C 時の 60% 以下になるので、 Fig. 2 にも示したように、  $\text{CaCO}_3$  吹き込みによる  $\text{SiO}$  ガス発生の抑制効果が相対的に小さくなつたものと考えられる。

$\text{CaCO}_3$  の吹き込みにおける溶銑中の [S] 濃度の低下は、 スラグ中の (CaO) 濃度の上昇による S 平衡分配比の上昇によるものと考えられるが、 Table 7 に示すように炉平均データによる分配比  $L_s^0$  は、ほとんど変化していないので、今後の検討が必要である。なお、  $L_s^0$  は(10)式<sup>9)</sup>で、 酸素分圧  $P_{\text{O}_2}$  は(12)式<sup>9)</sup>で求めた。

$$\log L_s^0 = \log \left\{ \frac{(\% \text{S})}{f_s \cdot [\% \text{S}]} \right\} \text{eq.} \\ = \log C_s - 1/2 \log P_{\text{O}_2} - \frac{7054}{T_m} + 1.224 \quad \dots \dots \dots (10)$$



$$\log P_{\text{O}_2} = - \frac{24874}{T_m} + 5.17 + 2 \log a_{\text{FeO}} - 2 \log a_{\text{Fe}} \quad \dots \dots \dots (12)$$

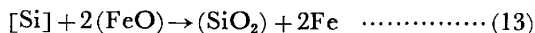
Table 8. Calculated Si transfer parameter change on iron oxide injection.

|                                    | Case 1                    |                        | Case 2                    |                        | Case 3                    |                        | Case 4                    |                        | Case 5                    |                        |
|------------------------------------|---------------------------|------------------------|---------------------------|------------------------|---------------------------|------------------------|---------------------------|------------------------|---------------------------|------------------------|
|                                    | Tuyeres without injection | Tuyeres with injection |
| Flame Temperature (°C)             | 2291                      | 2152                   | 2332                      | 2221                   | 2292                      | 2137                   | 2299                      | 2097                   | 2262                      | 2078                   |
| Coke Temperature (°C)              | 1719                      | 1614                   | 1749                      | 1665                   | 1719                      | 1603                   | 1724                      | 1573                   | 1697                      | 1558                   |
| $k_5$ (Kcal/m²·h atm)              | 0.1354                    | 0.0112                 | 0.2629                    | 0.0390                 | 0.1354                    | 0.0085                 | 0.1515                    | 0.0039                 | 0.0822                    | 0.0027                 |
| $k_6$ (Kcal/m²·h atm)<br>at 1450°C | 1.7                       | 1.7                    | 1.7                       | 1.7                    | 1.7                       | 1.7                    | 1.7                       | 1.7                    | 1.7                       | 1.7                    |
| at 1480°C                          | 2.4                       | 2.4                    | 2.4                       | 2.4                    | 2.4                       | 2.4                    | 2.4                       | 2.4                    | 2.4                       | 2.4                    |

## 3.3.2 酸化鉄吹き込み時の反応

酸化鉄を吹き込んだ場合の [Si] 濃度の低下の要因としては、下記に示すようなものが考えられる。

- 1) (2)式および(3)式の直接還元反応によつて、羽口前温度が低下し、 $\text{SiO}$  発生反応が抑制される。
- 2) スラグ中の  $\text{FeO}$  の増加によつて、 $P_{\text{O}_2}$  が上昇し、 $\text{SiO}$  ガス発生反応が抑制される。
- 3)  $\text{FeO}$  と銑中 [Si] との次式の反応によつて、[Si] 濃度が低下する。



レースウェイ内から採集したメタルの分析結果より、3)の要因の可能性があると考えられる。また、スラグ分析における  $\text{CaO}/\text{SiO}_2$  の低下は、 $\text{SiO}$  発生反応の抑制あるいは銑中 [Si] の酸化によるものと考えられる。

酸化鉄を吹き込んだ場合の羽口前の Si 移行要因の変化の計算結果を Table 8 に示す。酸化鉄を約 15 kg/t-p 吹き込んだ Case 1~3 の場合には、吹き込みをしていない羽口と比較すると、羽口前温度は 110~150°C 低下し、 $k_5$  は 15% 以下となつた。一方、約 30 kg/t-p の吹き込みの Case 4 および 5 においては、羽口前温度は 190~210°C 低下し、 $k_5$  は 4% 以下となつた。このことは 1) の要因の可能性もあることを示している。

[S] 濃度に及ぼす酸化鉄吹き込みの影響を検討するために、S 平衡分配比やスラグの  $\text{FeO}$  に対する酸素分圧を計算したが、 $\text{CaCO}_3$  吹き込みと同様に、吹き込みによる差は認められなかつた。これは、吹き込み羽口において、局所的に、S に寄与する反応が行われているためと考えられる。今後、これらについて、検討していく予定である。

## 4. 結 言

高炉送風羽口から、 $\text{CaCO}_3$  および酸化鉄の吹き込みを実施し、銑中 [Si] の低下を確認した。[Si] 低下の要因としては、 $\text{CaCO}_3$  吹き込みの場合には、

- 1) 羽口前温度の低下
- 2)  $\text{CaO}$  増によるスラグ中  $\text{SiO}_2$  の活量低下
- 3)  $\text{CO}_2$  発生による  $P_{\text{SiO}}$  の低下

酸化鉄吹き込みの場合には、

- 1) 羽口前温度の低下
- 2)  $\text{FeO}$  増による  $P_{\text{SiO}}$  の低下
- 3) 銑中 Si の酸化鉄による酸化

が考えられる。

今後、これらの要因について、詳細に検討を加えていきたい。

## 記 号

$A_{g,m}$  : 気体-メタル間の有効比表面積 ( $\text{m}^2/\text{m}^3(\text{bed})$ )

$A_{s,st}$  : スラグとコークスとの濡れ比表面積 ( $\text{m}^2/\text{m}^3(\text{bed})$ )

$a_{\text{Fe}}$  : 溶銑中の Fe の活量 (-)

$a_{\text{FeO}}$  : スラグ中の  $\text{FeO}$  の活量 (-)

$a_{\text{SiO}_2}$  : スラグ中の  $\text{SiO}_2$  の活量 (-)

$C_s$  : sulfide capacity (-)

$f_s$  : 銑中 S の活量係数 (-)

$k_5$  : (4)式の反応速度定数 ( $\text{k mol}/\text{m}^2\text{h}$ )

$k_6$  : (7)式の反応速度定数 ( $\text{k mol}/\text{m}^2\text{h atm}$ )

$L_s^0$  : S 平衡分配比 (-)

$P_{\text{O}_2}$  : 酸素分圧 (atm)

$P_{\text{SiO}}$  :  $\text{SiO}$  ガスの分圧 (atm)

$R$  : 気体定数 (cal/mol deg)

$R_5$  : (4)式の反応速度 ( $\text{k mol}/\text{m}^3\text{h}$ )

$R_6$  : (7)式の反応速度 ( $\text{k mol}/\text{m}^3\text{h}$ )

[% S] : 溶銑中の S 濃度 (%)

(% S) : スラグ中の S 濃度 (%)

$T_m$  : メタルの温度 (°C)

$T_s$  : 固体の温度 (°C)

## 文 献

- 1) 羽田野道春, 山岡秀行, 山県千里: 鉄と鋼, 62 (1976), S 391
- 2) 田口整司, 植谷暢男, 高田至康, 岡部俠児: 鉄と鋼, 64 (1978), p. 691
- 3) 安野元造, 奥村和男, 河合隆成, 一藤和夫, 植谷暢男, 田口整司: 鉄と鋼, 68 (1982), S 711
- 4) 成田貴一, 牧野武久, 松本洋, 彦坂明秀, 勝田順一郎: 鉄と鋼, 69 (1983), p. 1722
- 5) S. SAKURAI, H. TAKAHASHI and A. SUEMORI: Ironmaking Steelmaking, 10 (1983), p. 137
- 6) 徳田昌則, 植谷暢男, 大谷正康: 鉄と鋼, 58 (1972), p. 219
- 7) 田口整司, 久保秀穂, 植谷暢男, 一藤和夫, 岡部俠児: 鉄と鋼, 68 (1982), p. 2303
- 8) 角戸三男, 植谷暢男, 岡部俠児: 私信
- 9) 植谷暢男, 田口整司, 高田至康, 岡部俠児: 鉄と鋼, 63 (1977), p. 1791